

I-B26

防風柵付PC斜張橋の耐風安定性と防風効果

九州産業大学工学部 正会員 吉村 健、亀井 順隆、○篠原 輝之
新構造技術㈱ 正会員 岡戸 三夫

1. はしがき 神奈川県伊勢原市に、新設の成瀬小学校が建設中である。本校と城ノ腰公園とは、国道271号線で斜角に分断されている。そこで、これら2施設を結ぶための歩道橋が計画・設計された。図-1に示す本橋は、97.5m の中央径間と 5.0m の桁幅を有する1面吊りのPC3径間連続斜張橋である。図中に示す防風柵付の主桁について、風洞による模型実験を実施した。その結果の概要を以下に示す。

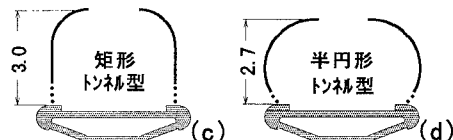
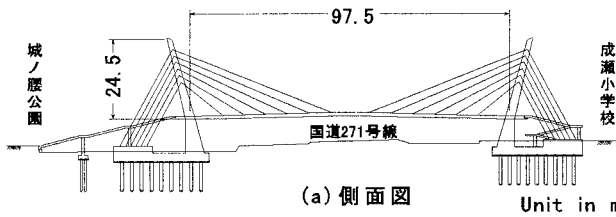
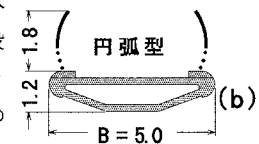


図-1 成瀬斜張橋側面図(a)および防風柵付主桁断面図(b, c, d)

2. 研究目的および検討内容 防風柵が主桁の耐風安定性と防風効果に及ぼす影響は相反する。そこで、極力風速を低減し、なおかつ耐風安定性を損なわない防風柵の形状を探る目的で、図-2に示す半円形と三角形のフェアリング付扁平六角形断面主桁に、標準高欄、円弧型防風柵(図-1.b), 矩形トンネル型防風柵(図-1.c)をそれぞれ取り付けた計6種について検討した。なお主桁と防風柵の間の通気部には、充実率30%の金網が取り付けられており、この高さ(h)も重要なパラメータである。手順としては、まず耐風安定性について調べ、次に耐風安定性が良好なものについて、防風効果を検討した。

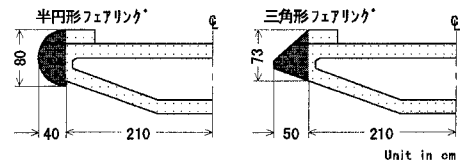


図-2 検討主桁断面

3. 耐風安定性の検討

1/16縮尺2次元剛体模型

をばね支持し、鉛直曲げとねじれの2自由度系で、一様流中のブレッタ実験を行った。主桁の諸物理量を表-1に示す。系の質量と極慣性モーメントおよび減衰は、所要値に設定した。実橋における半円形フェアリングまわりの高レイノルズ数領域の流れは、トリップワイヤーで相似させた[1]。

実験1：上記6種のうちで、 $h=70\text{cm}$ とした場合の実験結果を図-3(a),(b)に示す。円弧型防風柵の方が矩形トンネル型防風柵より、ブレッタ特性に与える悪影響が少ない。

また全ての形状で、半円形フェアリングがウインドノーズより良

い結果を得ている。なお防風柵を取り付けることにより、負の迎角で耐風安定性が悪くなっていて、乱流中ではブレッタ限界風速の低下が予測されるので、注意を要する。

表-1 主桁の諸物理量および固有振動数

	半円形フェアリング	ウインドノーズ
重量 W	7.00 t/m	6.79 t/m
極慣性モーメント I	17.1 tf·m ² /m	16.0 tf·m ² /m
無次元質量 μ	229	205
無次元質量極慣性モーメント ν	22.3	17.9
対数減衰率 δ_h, δ_θ	0.02	
鉛直曲げ固有振動数 f_h	0.674 Hz (1次モード)	
ねじれ固有振動数 f_θ	3.23 Hz (9次モード)	

$$\text{※ } \mu = W / (\rho g B^2), \quad \nu = I / (\rho g B^4)$$

キーワード：コンクリート斜張橋、歩道橋、防風柵、耐風安定性

〒813-8503 福岡市東区松香台2-3-1 九州産業大学 TEL:(092)673-5679 FAX:(092)673-5699

実験2：実験1で、結果の良かった円弧型防風柵付き半円形フェアリング断面で、 $h=70, 55, 40, 0(\text{cm})$ とした実験結果を図-4(a),(b)に示す。通気部をなくすと($h=0$ の場合)、迎角 -4.5° と -3° において、フッターフラッタ照査風速以下でギャロッピングが発生する。なお渦励振については、推定式で「照査の必要なし」の結果を得ているが、念のため本断面($h=40\text{cm}$)のみについて、スクルートン数の小さい系で実験した。その結果、実用上問題ないことが確認された。

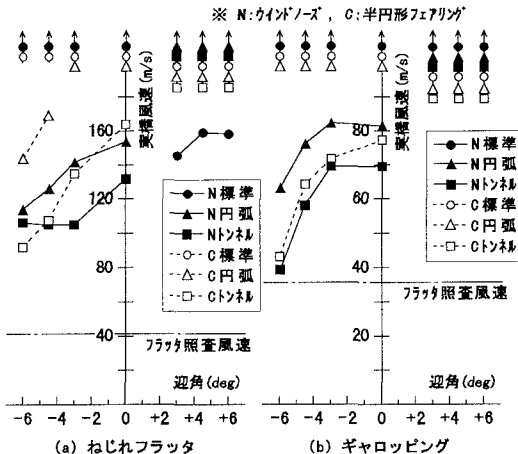
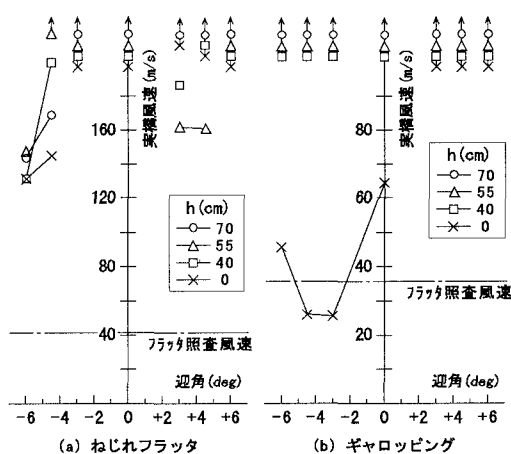
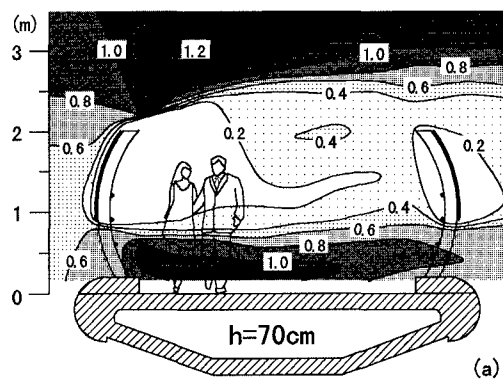
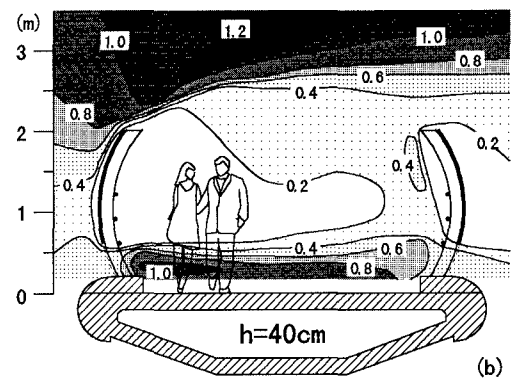
図-3 全断面($h=70\text{cm}$)のフッターフラッタ照査風速

図-4 円弧型防風柵付き半円形フェアリング断面

4. 防風効果の検討

上記の結果を踏まえ、耐風安定性が良好であった円弧型防風柵で、 h を 70cm と 40cm にした2種について、接近流に対する風速低減率を桁断面上高さ 3.5m まで計測した。その結果を図-5にセンター図として示す。形状については、トンネル型にするまでもなく、円弧型防風柵で十分な防風効果が得られていることがわかる。図(a)に示す $h=70\text{cm}$ の場合、通気部後流に過度の增速流が発生しており、実用上問題がある。一方、図(b)に示す $h=40\text{cm}$ では、增速流領域が縮小され、良好な防風効果が得られている。

図-5 風速低減率(円弧型防風柵、半円形フェアリング、 $h=70\text{cm}$ (a)および $h=40\text{cm}$ (b))

5. むすび

本研究により、①半円形フェアリング付断面は、迎角によらず高い耐風安定性を示すこと②円弧型防風柵付断面では、通気部を設けることにより、ねじれフッター、ギャロッピングおよび渦励振のいずれに対しても十分安定であり、かつ防風効果も良好であること③矩形に近いトンネル型防風柵付き断面の場合、通気部を設けても迎角によってギャロッピングが問題となること、などが明らかにされた。なお、半円形防風柵(図-1.d)に関する追加検討と格子乱流中の特性調査を現在行っている。

参考文献

- [1] Yoshimura, T. et al.: Half-circular and half-elliptic edge modifications for increasing aerodynamic stability of stress-ribbon pedestrian bridges, J. Wind Eng. and Industrial Aerodynamics, Vol.69-71, 1997.